

# نشریه علمی مکانیک سازه‌ها و شاره‌ها

DOI: 10.22044/jsfm.2021.10554.3343

## تحلیل عددی و تجربی عیب برگشت فنری در فرایند شکل دهی غلتکی انعطاف پذیر با استفاده از معیارهای تسلیم ناهمسان گرد

ولی الله پناهی زاده<sup>۱\*</sup>، یعقوب دادگر اصل<sup>۲</sup>، فرزاد سعیدی<sup>۳</sup> و سولماز افشین<sup>۳</sup>

<sup>۱</sup> استادیار، مهندسی مکانیک، دانشگاه تربیت دبیر شهید رجایی، تهران، ایران

<sup>۲</sup> استادیار، مهندسی مکانیک، دپارتمان مهندسی مکانیک، دانشکده فنی انقلاب اسلامی، دانشگاه فنی و حرفه ای استان تهران، تهران، ایران

<sup>۳</sup> کارشناسی ارشد، مهندسی مکانیک، دانشگاه تربیت دبیر شهید رجایی، تهران، ایران

یادداشت پژوهشی، تاریخ دریافت: ۱۳۹۹/۱۱/۲۶؛ تاریخ بازنگری: ۱۴۰۰/۰۳/۱۶؛ تاریخ پذیرش: ۱۴۰۰/۰۵/۱۴

### چکیده

فرایند شکل دهی غلتکی انعطاف پذیر با قابلیت تولید قطعاتی با عرض و عمق متغیر، با هدف به کارگیری در صنایعی همچون، خودرو سازی، ساختمان سازی و صنایع مشابه ایجاد شد. یکی از عیوب این فرایند، عیب برگشت فنری است. این عیب باعث عدم دستیابی به پروفیل مطلوب می شود. در این مقاله به تحلیل تجربی و عددی پذیره برگشت فنری با استفاده از معیارهای تسلیم هیل و بارلات و فون میسز پرداخته شده است؛ همچنین تأثیر پارامترهای زاویه خم، جنس و ضخامت ورق بر روی این عیب بررسی شده است. به وسیله زیرروال VUMAT نرم افزار آباکوس، فرایند برای سه جنس آلومینیوم ۱۰۵۰، فولاد کم کربن، فولاد زنگ نزن ۴۳۰ شبیه سازی شد. در این شبیه سازی ها برای هر ماده، سه ضخامت ۰/۴، ۰/۷ و ۱ میلی متر با زوایای خم ۲۵ و ۴۵ درجه در نظر گرفته شد. آزمایش های تجربی با استفاده از دستگاه شکل دهی غلتکی انعطاف پذیر، انجام گرفت. صحبت سنجی نتایج شبیه سازی عددی با مقایسه نتایج تجربی انجام گرفت. نتایج نشان داد، معیار بارلات نسبت به دو عیار دیگر، پیش بینی دقیق تری از برگشت فنری دارد؛ همچنین نتایج نشان دادند که نسبت برگشت فنری ورق های دارای ضخامت ۰/۴ میلیمتر نسبت به ضخامت ۱ میلیمتر برای جنس های فولاد کم کربن، آلومینیوم و فولاد ضد زنگ، به ترتیب ۱/۵، ۲/۵ و ۳/۲ برابر است.

**کلمات کلیدی:** شکل دهی غلتکی انعطاف پذیر؛ برگشت فنری؛ روش اجزا محدود؛ معیار تسلیم ناهمسان گرد.

## Numerical and Experimental Analysis of Spring-back Defect in Flexible Roll Forming Process using Anisotropic Yield Criteria

V. Panahizadeh<sup>1\*</sup>, Y. Dadgar Asl<sup>2</sup>, F. Saeedi<sup>3</sup>, S. Afshin<sup>3</sup>

<sup>1</sup> Assis. Prof., Dep.Mech. Eng., Shahid Rajaee Teacher Training Univ., Tehran, Iran.

<sup>2</sup> Assis. Prof., Dep. Mech. Eng., Tehran Branch, Faculty of Enghelab-e Eslami, Technical and vocational Univ., Tehran, Iran.

<sup>3</sup> Msc., Dep.Mech. Eng., Shahid Rajaee Teacher Training Univ., Tehran, Iran.

### Abstract

The Flexible Roll Forming (FRF) process with the ability to produce parts with variable width and depth was formed to be used in industries such as automotive, construction, and similar industries. One of the disadvantages of this process is the spring-back defect, which prevents the desired profile from being achieved. In this paper, experimental and numerical analysis of the spring-back phenomenon using Hill, Barlat, and Von Mises yield criteria. Also, the effect of bending angle, material, and sheet thickness parameters on this defect was investigated. The process for the three types of 1050 aluminum, low carbon steel, and 430 stainless steel was simulated using the VUMAT subroutine of Abaqus software. In these simulations, for each material, three thicknesses of 0.4, 0.7 and 1 mm with bending angles of 25 and 45 degrees were considered. Experimental experiments were performed using the FRF machine. Validation of numerical simulation results was performed by comparing experimental results. The results showed that the Barlat criterion has a more accurate prediction of spring-back than the other two criteria. The results also showed that the spring-back ratio of sheets with a thickness of 0.4 mm compared to 1 mm for low carbon, aluminum, and stainless steel are 1.5, 2.5, and 3.2, respectively.

**Keywords:** Flexible Roll Forming; Spring-Back; Finite Element Method; Anisotropic Yield Criteria.

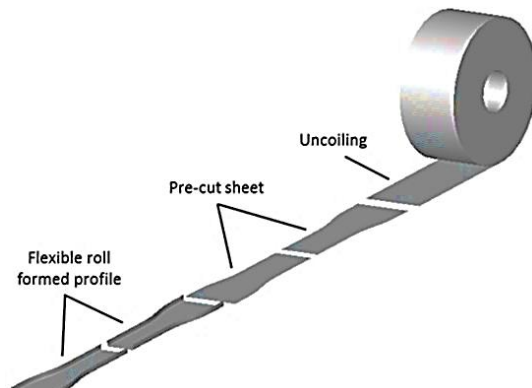
## ۱- مقدمه

برای موقعیت دهی دقیق غلتک ها از سیستم کنترل عددی رایانه ای<sup>۲</sup> (CNC) استفاده می شود که می توان با تغییر در برنامه کنترلی دستگاه موقعیت غلتک ها را تغییر داده و با صرف کمترین هزینه و زمان ممکن محصول جدیدی را تولید کرد، به همین دلیل به این فرایند، FRF می گویند.  
به دلیل وجود شکل های خاص دارای تقریر و تحدب در بال پروفیل و پیچیدگی تنش - کرنش، عیوب خاصی در محصولات تولیدی به این روش مشاهده می شود که علت به وجود آمدن این عیوب، وجود دو منطقه کششی و فشاری در ناحیه انتقال (ناحیه ای که در آن عرض پروفیل تغییر می کند) است. پس از شکل دهی به اندازه مشخص، لبه ورق در ناحیه فشاری کاهش طول و در ناحیه کششی دچار افزایش طول می شود. از عیوب متداول این فرایند می توان به اعوجاج لبه، برگشت فنری، شمشیری شدن، انحراف از موقعیت مطلوب لبه، تابیدگی کف پروفیل و پارگی اشاره کرد [۳].

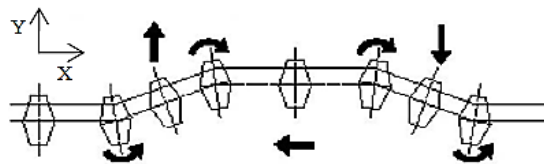
گولجن و همکاران [۴]، با استفاده از نرم افزار المان محدود ام اس سی مارک<sup>۳</sup> فرایند شکل دهی غلتکی سه بعدی را شبیه سازی کردند. نتایج شبیه سازی آنها موج دار شدن لبه جلو و عقب پروفیل با مقاطع U شکل را نشان داد که در شکل دهی غلتکی مواد از پیش برشده شده معمول است. گروچ و همکاران [۵]، فرایند FRF را به عنوان روشی مناسب برای تولید قطعات مورد استفاده در بدنه خودرو از فولادهای با استحکام بالا معرفی کردند. لارانزا و گالدوس [۶]، به منظور بررسی عیب تابیدگی کف پروفیل، حین انجام شکل دهی غلتکی انعطاف پذیر، گرمایش موضعی اعمال کردند، بیشترین اثر گرمایش موضعی زمانی حاصل می شود که قبل از شروع شکل دهی، قسمت بال ورق در کل ناحیه، گرماده شود. کسائی و همکاران [۷]، چین خودگی لبه در منطقه انتقال را با استفاده از تجزیه و تحلیل المان محدود مورد مطالعه قرار دادند، نتایج آنها نشان داد که تغییر شکل نوار در ناحیه انتقال می تواند به عنوان ترکیبی از دو تغییر شکل نوار مشاهده شده در فرایند شکل دهی غلتکی ساده و دارای فلنچ باشد. محمدی و همکاران [۸]، با استفاده از شبیه سازی المان محدود به بررسی چگونگی ایجاد عیب تابیدگی کف پروفیل

برخی قطعات مورد استفاده در صنایعی همچون خودروسازی، ساختمان سازی و صنایع مشابه دارای عرض و عمق متغیر هستند، به همین دلیل فرایند جدیدی به نام فرایند شکل دهی غلتکی انعطاف پذیر<sup>۱</sup> (FRF) بکار گرفته شد که قابلیت تولید چنین قطعاتی را دارد (شکل ۱).

یکی از تفاوت های مهم FRF با شکل دهی غلتکی سرد، حرکت عرضی و حرکت زاویه دار غلتک حین فرایند است. غلتک ها در راستای محور X حرکتی ندارند، بلکه ورق است که در راستای محور X حرکت می کند. غلتک، عمود بر جهت حرکت ورق، یعنی در راستای Y حرکت خطی داشته و حول محور Z (محور عمود بر صفحه) حرکت دورانی دارد، به این ترتیب در طول فرایند به طور صحیح روی خط خم باقی می ماند (شکل ۲).



شکل ۱- مراحل تولید انواع پروفیل، به روش شکل دهی غلتکی انعطاف پذیر [۱]



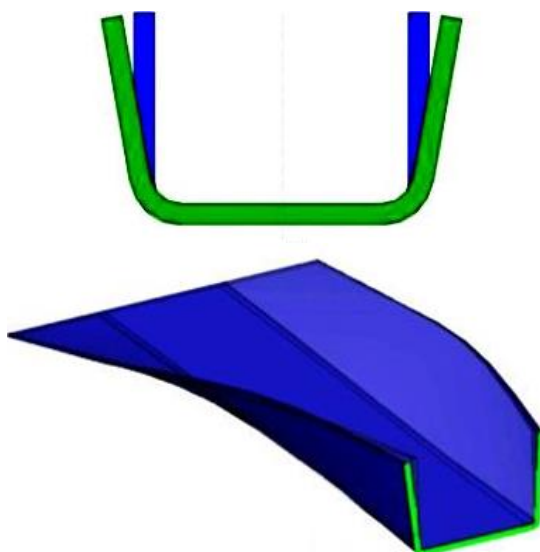
شکل ۲- نحوه جابه جایی غلتک ها در شکل دهی غلتکی انعطاف پذیر [۲]

<sup>2</sup> Computer Numerical Control (CNC)

<sup>3</sup> MSC Marc

<sup>۱</sup> Flexible Roll Forming (FRF)

ضخامت ۰/۴، ۰/۷ و ۱ میلی‌متر با استفاده از دستگاه شکل‌دهی غلتکی انعطاف‌پذیر ساخته شده، صورت گرفت. چون در مقاله حاضر هدف نویسنده‌گان بررسی تاثیر ناهمسانگردی ماده در نتایج شبیه‌سازی‌ها و ارزیابی تطابق یا عدم تطابق آن‌ها با نتایج تجربی بود، ۲ معیار تسلیم ناهمسانگرد و یک معیار همسانگرد (جهت مقایسه‌ی با معیارهای ناهمسانگرد) انتخاب شدند. از بین معیارهای همسانگرد مناسب‌ترین معیار قابل انتخاب معیار تسلیم فون میسز بود که به عنوان معیار همسانگرد انتخاب گردید. از بین معیارهای ناهمسانگرد موجود دو معیار برای بررسی اثر ناهمسانگردی انتخاب شدند. اولین معیار ناهمسانگرد انتخاب شده، معیار هیل و دومین معیار ناهمسانگرد انتخاب شده، معیار بارلات بود. انتخاب سه معیار تسلیم همسانگرد و ناهمسانگرد امکان مقایسه بین معیارها و انتخاب مناسب‌ترین معیار را فراهم می‌کند. درنهایت با مقایسه نتایج حاصل از شبیه‌سازی عددی با کار تجربی صحبت‌سنگی نتایج عددی انجام شده، همچنین با مقایسه نتایج حاصل از معیارهای تسلیم با نتایج تجربی، مناسب‌ترین معیار تسلیم برای بررسی عیب برگشت فنری انتخاب گردید. پارامترهای هندسی از جمله شعاع خم داخلی، ضخامت ورق، روش شکل‌دهی (طراحی الگو جریان) بر مقدار برگشت فنری تأثیر چشم‌گیری دارند.



شکل ۳- طرح‌واره برگشت فنری در فرایند شکل‌دهی غلتکی به صورت دوبعدی و سه‌بعدی [۱۱]

پرداختن، نتایج آن‌ها نشان داد، علت اصلی تابیدگی کف پروفیل اعمال نشدن مقدار کافی کرنش طولی در لبه بال پروفیل در ناحیه انتقال است. یان و همکاران [۹]، با استفاده از روش تحلیلی و شبیه‌سازی المان محدود فرایند FRF بررسی کردند. در این بررسی با معیار تسلیم هیل<sup>۱</sup> ۴۸ به مطالعه تنش‌های فشاری، تنش‌های کششی و تنش‌های برشی پرداختند، طبق نتایج به دست‌آمده، معیار هیل ۴۸، می‌تواند رفتار تغییر شکل مواد را در شرایط کرنش صفحه‌ای به خوبی منعکس کند. یان و همکاران [۲] برای اولین بار، یک مدل تحلیلی برای پیش‌بینی تابیدگی کف پروفیل در FRF ارائه کردند. مدل تحلیلی را به دو روش حداقل تابیدگی کف با کرنش طولی صفر و حداقل کرنش طولی با تاب صفر بررسی کردند. طبق نتایج به دست‌آمده عیب تابیدگی کف با کرنش طولی لبه رابطه عکس دارد. دادگر اصل و همکاران [۱۰]، به بررسی تجربی و عددی عیب پارگی در فرایند FRF پرداختند. طبق نتایج به دست‌آمده، معیار شکست نرم آرگون، به عنوان مناسب‌ترین معیار برای تشخیص عیب پارگی بیان شد.

برگشت فنری پدیده‌ای رایج و اجتناب‌ناپذیر در شکل‌دهی ورق‌های فلزی است از این‌رو پارامترهای مربوط به ایجاد کرنش در مواد، طی فرایند بارگذاری و باربرداری بر رفتارهای برگشت فنری قسمت‌های شکل‌گرفته تحت‌فشار تأثیرگذار هستند. شکل ۳ طرح‌واره برگشت فنری در فرایند شکل‌دهی غلتکی سرد را نشان می‌دهد.

با وجود مطالعات صورت‌گرفته در خصوص فرایند شکل‌دهی غلتکی انعطاف‌پذیر، تاکنون مطالعه‌ای در خصوص تأثیر معیارهای تسلیم ناهمسانگرد بر میزان عیوب موجود در پروفیلهای تولیدی در این فرایند صورت نگرفته است.

در این مقاله، به بررسی عددی و تجربی پدیده برگشت فنری و تأثیر پارامترهایی چون ضخامت ورق، جنس ورق و زاویه خم روی این عیب پرداخته می‌شود. بدین منظور، شبیه‌سازی فرایند در نرم‌افزار المان محدود آباکوس انجام شد. آزمایش‌های تجربی روی ۱۸ نمونه از پیش بریده شده از جنس فولاد زنگنزن، فولاد کم‌کربن و آلومینیوم با سه

<sup>۱</sup> Hill

در رابطه ۳،  $f$  تابع تسلیم،  $M$  پارامتر مربوط به ساختار کریستالوگرافی ماده، ضرایب  $k_1$  و  $k_2$  توسط رابطه ۴ به دست می‌آید:

$$k_1 = \frac{\sigma_{11} + h\sigma_{22}}{2};$$

$$k_2 = \left[ \left( \frac{\sigma_{11} - h\sigma_{22}}{2} \right)^2 + p^2 \sigma_{12}^2 \right]^{\frac{1}{2}} \quad (4)$$

همچنین پارامترهای  $a$ ،  $c$  و  $p$  پارامترهای شناخته شده ماده هستند که از روابط ۵ تا ۷ به دست می‌آیند:

$$a = 2 - c = \frac{2 \left( \frac{\sigma_e}{\tau_{s2}} \right)^M - 2 \left( 1 + \frac{\sigma_e}{\sigma_{90}} \right)^M}{1 + \left( \frac{\sigma_e}{\sigma_{90}} \right)^M - \left( 1 + \frac{\sigma_e}{\sigma_{90}} \right)^M} \quad (5)$$

$$h = \frac{\sigma_e}{\sigma_{90}} \quad (6)$$

$$P = \frac{\sigma_e}{\tau_{s1}} \left( \frac{2}{2a + 2^M c} \right)^{\frac{1}{M}} \quad (7)$$

$\tau_{s2}$  و  $\tau_{s1}$  تنش تسلیم برای ۲ نوع تست برشی مختلف است که شرایط  $\tau_{s1} = \sigma_{12} = 0$  برای  $\sigma_{11} = \sigma_{22} = 0$  و  $\sigma_{12} = \sigma_{22} = -\sigma_{11} = \tau_{s2}$  برقرار است؛ همچنین  $\sigma_e$  تنش معادل و  $\sigma_{90}$  تنش در راستای عمود بر جهت نورد است. با استفاده از روش دیگر و بر پایه ضرایب لانکفورد (ناهمسانگردی)  $r_0$  و  $r_{90}$  این ثابت‌ها به صورت روابط ۸ و ۹ به دست می‌آیند [۱۲]:

$$a = 2 - c = 2 - 2 \sqrt{\frac{r_0}{1 + r_0} \cdot \frac{r_{90}}{1 + r_{90}}} \quad (8)$$

$$h = \sqrt{\frac{r_0}{1 + r_0} \cdot \frac{1 + r_{90}}{r_{90}}} \quad (9)$$

### ۳- شبیه‌سازی المان محدود

برای شبیه‌سازی فرایند FRF از حل‌گر دینامیک صریح نرم‌افزار المان محدود ABAQUS 6.12 استفاده شده است.

برای مدل‌سازی سطح تماس نوع تماس غلتک بالایی با سطح ورق و همچنین نوع تماس غلتک پایینی با زیر ورق همچنین درجات آزادی و نحوه حرکت غلتک‌ها با توجه به شکل و پروفیل ورق تعیین شده و روی غلتک‌ها اعمال گردید. برای به دست آوردن مسیر دقیق حرکت غلتک‌ها و

### ۲- معیارهای تسلیم ناهمسانگردی

در این مقاله، به منظور بررسی دو معیار تسلیم ناهمسانگردی هیل و بارلات، زیر برنامه‌ای در نرم‌افزار المان محدود نوشته شد و برای به دست آوردن پارامترهای ناهمسانگردی مربوط به هر معیار، آزمایش کشش صورت گرفت.

#### ۲-۱- معیار تسلیم ناهمسانگردی هیل ۴۸

در سال ۱۹۴۸، معیار تسلیم ناهمسانگردی توسط هیل ارائه گردید که در این معیار فرض شده است، ماده دارای یک ناهمسانگردی با صفحات متقاضی متعامد است. این معیار تسلیم به وسیله یک معادله درجه‌دو به صورت رابطه ۱ بیان شده است [۱۲]:

$$2f(\sigma_{ij}) = F(\sigma_{22} - \sigma_{33})^2 + G(\sigma_{33} - \sigma_{11})^2 + H(\sigma_{11} - \sigma_{22})^2 + 2L\sigma_{23}^2 + 2M\sigma_{31}^2 + 2N\sigma_{12}^2 = 1 \quad (1)$$

در رابطه ۱،  $f$  تابع تسلیم،  $F$ ،  $G$ ،  $H$  و  $N$  ثابت‌های ویژه ناهمسانگردی ماده،  $\sigma_{11}$ ،  $\sigma_{22}$  و  $\sigma_{33}$  تنش‌های نرمال در راستای محورهای مختصات و  $\sigma_{12}$ ،  $\sigma_{23}$  و  $\sigma_{31}$  تنش‌های برشی هستند. در حالت ورق فلزی، معمولاً محور ۱ موازی با جهت نورده، محور ۲ در جهت متعامد و محور ۳ در امتداد جهت نرمال است. اگر تنش‌های تسلیم کششی در جهات اصلی ناهمسانگردی با  $X$ ،  $Y$  و  $Z$  نمایش داده شود، می‌توان با رابطه ۲ نشان داد که [۱۲]:

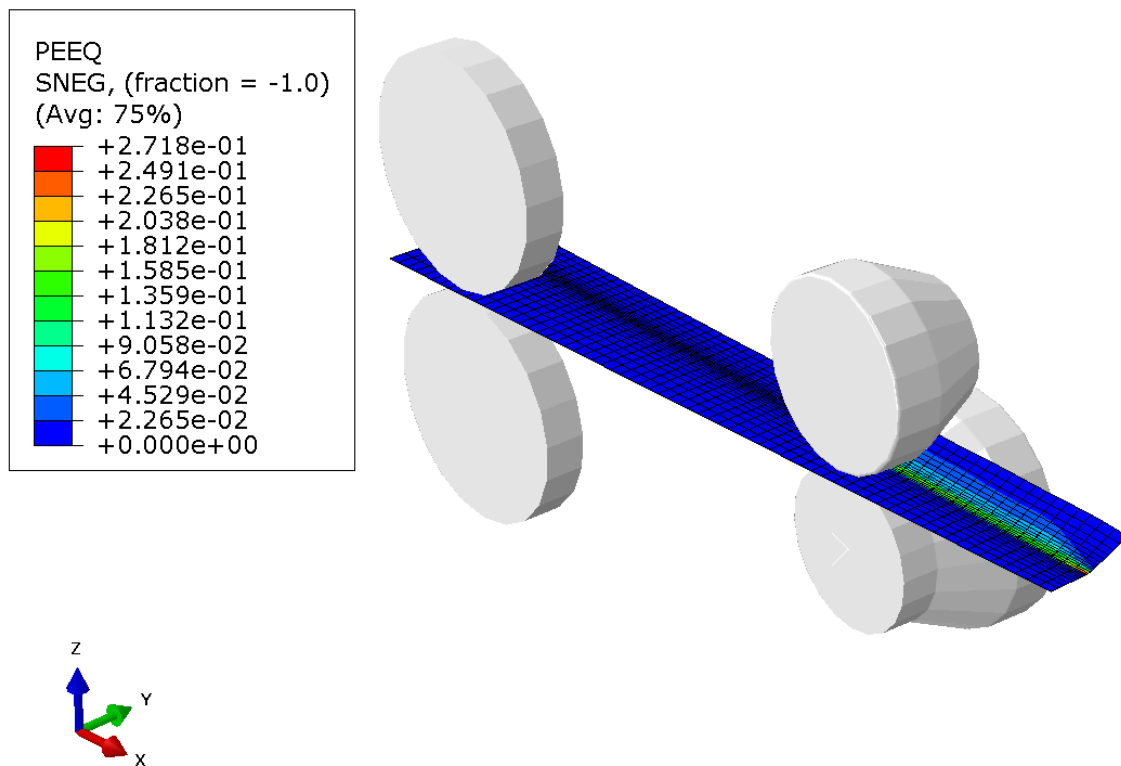
$$\frac{1}{X^2} = G + H; \quad \frac{1}{Y^2} = H + F; \quad \frac{1}{Z^2} = F + G \quad (2)$$

#### ۲-۲- معیار تسلیم ناهمسانگردی بارلات

تابع تسلیم بارلات، برای توصیف رفتار مکانیکی پوسه‌های فلزی در محدوده پلاستیک، با فرض ناهمسانگردی و بارگذاری تنش صفحه‌ای توسعه داده شده است. بررسی این نوع رفتار عمدتاً در مورد مسئله شکل‌دهی ورق‌های فلزی اهمیت پیدا می‌کند.

در سال ۱۹۸۹ بارلات و لین، یک معادله‌ای برای موادی که ناهمسانگردی صفحه‌ای از خود نشان می‌دهند را توسط تابع تسلیم نشان داده شده در رابطه ۳ ارائه کردند [۱۳]:

$$f = a|k_1 + k_2|^M + a|k_1 - k_2|^M + c|2k_2|^M = 2\sigma_e^M \quad (3)$$



شکل ۴- نمایی از شبیه‌سازی فرایند شکل دهی غلتکی انعطاف‌پذیر

برای توابع تسلیم چندین زیر روال VUMAT در آباکوس نوشته شد. تابع تسلیم هیل بر اساس قانون حریان غیر وابسته نتایج نسبتاً بهتری را ارائه می‌داد. سپس تابع تسلیم بارلات بر اساس قانون حریان وابسته و غیر وابسته با استفاده از زیر روال VUMAT در آباکوس پیاده‌سازی شد. این شبیه‌سازی‌ها شامل ۱۸ آزمایش برای سه جنس و سه ضخامت و دو زاویه خم است که در جدول ۳ آورده شده است.

### ۱-۳- مدل سازی

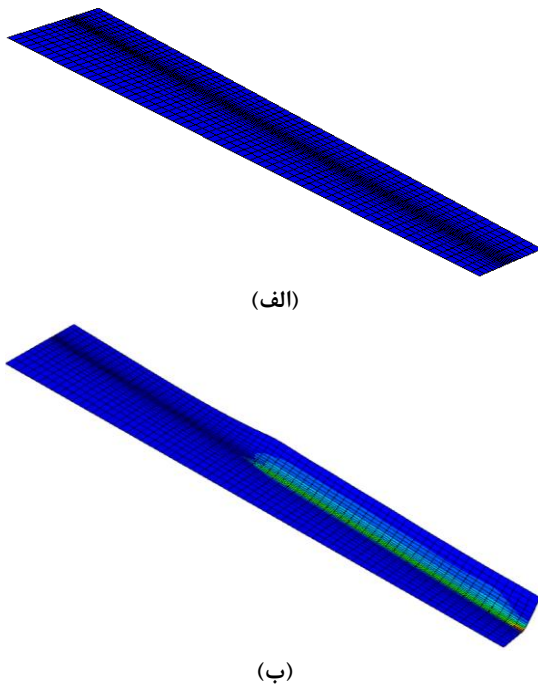
در این شبیه‌سازی، غلتک‌ها صلب و ورق به صورت پوسته شبیه‌سازی شده است. در این شبیه‌سازی طول ورق ۶۰۰ میلی‌متر انتخاب شده است. مدل المان محدود با یک ایستگاه اولیه برای گرفتن اولیه ورق جهت هدایت ورق و یک ایستگاه شکل دهی (مطابق دستگاه تجربی) طراحی شد که جفت غلتک‌ها با زوایای مختلف وظیفه شکل دهی ورق را به عهده دارند. به دلیل تقارن، فقط نیمی از ورق و غلتک‌ها مدل شده‌اند. در این شبیه‌سازی ابتدا غلتک زیرین در جهت محور

برای انطباق دقیق آن با حرکت غلتک‌ها روی دستگاه که با سیستم کنترلی بصورت دقیق کنترل می‌شود، در نرم‌افزار سه‌بعدی شبیه‌سازی حرکتی آن انجام شده و خروجی این منحنی و حرکت غلتک‌ها عیناً هم به خود دستگاه و هم در نرم افزار آباکوس اعمال گردیده است.

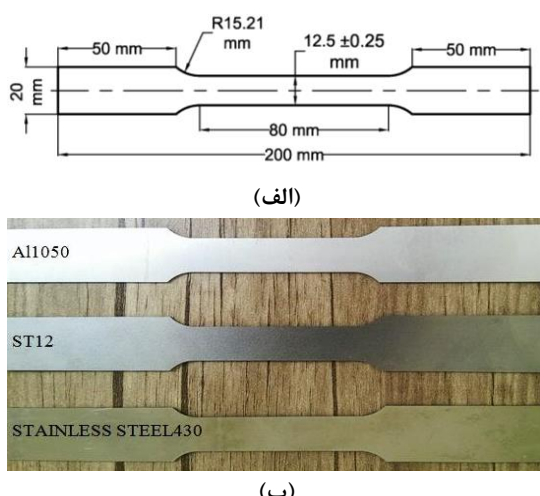
شکل ۴ نمایی از مدل شبیه‌سازی شده را نشان می‌دهد. پارامترهای تأثیرگذار روی عیب برگشت فنری شامل ضخامت ورق، جنس ورق و زاویه خم هستند که جهت بررسی اثر این پارامترها، شبیه‌سازی‌ها بر اساس معیار عاملی کامل<sup>۱</sup> انجام شده است.

برای پیاده‌سازی توابع تسلیم در نرم‌افزارهای المان محدود باید از الگوریتم‌های ادغام تنش برای به دست آوردن تنش و کرنش الاستیک و پلاستیک در هر گام زمانی استفاده کرد که الگوریتم برگشتی اوبلر در آباکوس ضمنی پیاده‌سازی شدند.

<sup>۱</sup> Full Factorial



شکل ۶- ورق شبکه‌بندی شده (الف) قبل از شبیه‌سازی و  
ب) بعد از شبیه‌سازی



شکل ۷- (الف) ابعاد نمونه آزمون کشش و ب) نمونه‌های  
آماده شده آزمون کشش

### ۳-۳- خواص مواد

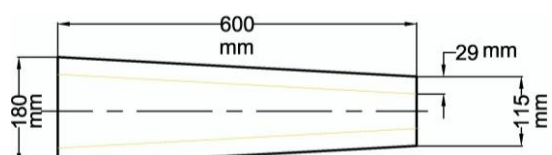
با توجه به اینکه در این مقاله، به بررسی اثر ناهمسانگردی ورق فلزی پرداخته می‌شود؛ لذا باید ضرایب ناهمسانگردی به دست آید که برای این منظور، نمونه‌های استانداردی مطابق

$z$  حرکت کرده و ورق را می‌گیرد. با دوران غلتک‌ها حول محور  $y$  و همچنین تطبیق خود با خط  $x$  به صورت تغییر زاویه حول محور  $z$ ، باعث حرکت ورق در راستای  $x$  می‌شوند. با توجه به شکل پروفیل نهایی محصول، غلتک‌ها با جابه‌جایی عرضی در راستای  $y$ ، ورق موردنظر را شکل می‌دهند تا به محصول نهایی برسند. در تمام شبیه‌سازی‌ها ضریب اصطکاک یک مقدار یکسان  $0.3/0$  در نظر گرفته شد. به طور خلاصه مراحل شبیه‌سازی بدین ترتیب است:

ابتدا مدل سازی هندسی و تعریف خواص مکانیکی مورد نظر برای ورق و غلتک‌ها انجام گرفت؛ سپس در مرحله بعدی نوع حلگر و گام‌های زمانی و سایر ملزومات حرکتی غلتک‌ها که قبلاً توضیح داده شد تعریف شد. در ادامه رفتار تماسی از نوع سطح به سطح<sup>۱</sup> بین ورق و غلتک تعریف گردید؛ سپس شرایط مرزی مورد نظر برای ورق و غلتک‌ها اعمال گردید. همچنین سرعت‌های مربوط به غلتک‌ها اعمال شد. در پایان آدرس مربوط به فایل برنامه زیرروال وارد شده و شبیه‌سازی اجرا گردید.

### ۲-۳- مشخصات شبکه‌بندی

برای شبیه‌سازی این فرایند، غلتک‌ها صلب و ورق شکل‌پذیر در نظر گرفته شد. به همین منظور، المان بندی برای ورق، به صورت پوسته و از نوع S4R انتخاب گردید. پس از همگرا شدن جواب‌ها و کامل شدن شبیه‌سازی برای به دست آوردن جواب‌های دقیق‌تر اندازه‌ی مش کاهش می‌باید تا جایی که کم کردن اندازه مش هیچ تاثیری در جواب‌ها نداشته باشد؛ بنابراین نتایج مستقل از اندازه‌ی مش است. برای شکل ۵ پروفیل پیش‌بر شده و شکل ۶ و ۷ به ترتیب نمایی از ورق شبکه‌بندی شده را قبل و بعد از شبیه‌سازی نشان می‌دهند.



شکل ۵- پروفیل شبیه‌سازی شده و خط  $x$

<sup>۱</sup> Surface to Surface

در جدول ۱ خواص مکانیکی و در جدول ۲ ضرایب ناهمسانگردی برای هر ورق ارائه شده است؛ همچنین در جداول ۳، ۴ و ۵ ضرایب معیار بارلات به ترتیب برای جنس فولاد کم کربن، فولاد زنگنزن و آلومینیوم آورده شده است.

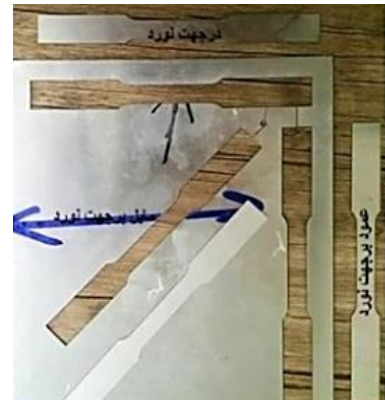


شکل ۹- اندازه‌گیری ضرایب ناهمسانگردی به‌وسیله دستگاه پروفایل پروژکتور

جدول ۱- خواص مکانیکی ورق فلزی			
SS430	St12	AL 1050	خواص مکانیکی
۴۷۳	۳۱۶	۱۹۱	استحکام نهایی (MPa)
۳۳۸	۱۹۰	۶۳	تنش تسیلیم (MPa)
۲۰۶	۲۰۰	۷۰	مدول الاستیسیته (GPa)
۰/۲۸	۰/۳	۰/۳۳	نسبت پواسون

جدول ۲- ضرایب ناهمسانگردی برای هر ورق

$r_{90}$	$r_{45}$	$r_0$	ضخامت (mm)	جنس
۲	۲/۷۲	۲/۰۴	۰/۴	
۱/۱۵	۱/۵۶	۱/۹۲	۰/۷	فولاد کم کربن
۱/۴۴	۱/۴۲	۱/۷۱	۱	
۲/۷۱	۲/۳۶	۲/۱۱	۰/۴	
۱/۸۸	۱/۷۲	۱/۹۵	۰/۷	فولاد زنگنزن
۱/۲۲	۱/۱۲	۱/۴۸	۱	
۰/۲۵	۰/۹۹	۰/۹۲	۰/۴	
۰/۳۷	۰/۸۸	۰/۸۴	۰/۷	آلومینیوم
۰/۴۸	۰/۷۹	۰/۷۲	۱	



(الف)



(ب)

شکل ۸- (الف) برش نمونه‌های استاندارد در سه جهت و (ب) نمونه‌های شبکه‌بندی شده

با استاندارد ASTM A370 از ورق فلزی در سه راستای جهت نورده، عمود بر جهت نورده و جهت مایل (۴۵ درجه) بریده شده و آزمایش کشش در این جهات صورت گرفت. در شکل ۷، ابعاد نمونه کشش طبق استاندارد ASTM A370-03a و نمونه‌های استاندارد بریده شده ورق‌ها با سه جنس فولاد کم کربن، فولاد زنگنزن و آلومینیوم نشان داده شده است. به منظور به دست آوردن ضرایب ناهمسانگردی، بعد از بریدن نمونه‌های استاندارد در جهاتی صفر، ۴۵ و ۹۰ درجه، شبکه‌بندی‌هایی به صورت دایره‌هایی با قطر ۲/۵ میلی‌متر ایجاد شد. با توجه به تغییر قطر دایره‌های حک شده قلیل و بعد از انجام آزمایش ضرایب ناهمسانگردی بدست آمده است. بدین ترتیب که قطر دایره‌ها بعد از انجام آزمایش تغییر یافته است. با این تجهیز همانطور که در شکل ۹ مشخص شده است، تغییر قطر در راستای کشش و عمود بر راستای کشش اندازه گیری شده است. از تقسیم کرنش عرضی به کرنش طولی این ضرایب بدست آمده‌اند. در شکل ۸ و ۹، مراحل به دست آوردن ضرایب ناهمسانگردی نشان داده شده است.

جدول ۵- ضرایب معیار بارلات برای آلمینیوم

$t=1$	ضخامت (mm)	$t=+1/4$	پارامتر
$t=1$	$t=+1/4$	$t=+1/4$	$M$
۸	۸	۸	$M$
۰/۷۲۱	۰/۷۰۲	۰/۶۱۹	$a$
۱/۲۷۹	۱/۲۹۸	۱/۳۸۱	$c$
۰/۳۳۷	۰/۵۰۵	۰/۳۸۷	$h$
۰/۶۱۸	۰/۷۳۴	۰/۶۹۶	$p$
۵۱/۰۳۵	۵۳/۷۲۸	۳۹/۳۸۶	$K_1$
۴۳/۸۶۳	۴۳/۷۸۲	۳۲/۹۷۸	$K_2$

جدول ۳- ضرایب معیار بارلات برای فولاد کم‌کربن

$t=1$	ضخامت (mm)	$t=+1/4$	پارامتر
$t=1$	$t=+1/4$	$t=+1/4$	$M$
۶	۶	۶	$M$
۱/۲۲۰	۱/۳۱۰	۱/۳۳۸	$a$
۰/۷۸۰	۰/۶۹۰	۰/۶۶۲	$c$
۰/۱۵۳	۰/۲۰۶	۰/۲۳۱	$h$
۰/۱۸۷	۰/۱۵۸	۰/۱۷۶	$p$
۱۰۹/۰۳۹	۱۱۴/۵۲۹	۱۱۶/۸۵۵	$K_1$
۱۱۰/۲۷۲	۱۱۲/۳۶۰	۱۱۳/۰۵۵	$K_2$

#### ۴- آزمون تجربی

به منظور مقایسه و صحت سنجی نتایج شبیه‌سازی، آزمون تجربی انجام شد. برای انجام آزمون تجربی از دستگاه FRF دارای یک ایستگاه شکل‌دهی همانند شبیه‌سازی عددی استفاده شد که دارای یک ایستگاه شکل‌دهی بود.

#### ۴-۱- دستگاه شکل‌دهی

یکی از ویژگی‌های مهم دستگاه شکل‌دهی غلتکی انعطاف‌پذیر، توانایی تولید پروفیل‌های با عمق و مقطع متغیر است. برای دستیابی به این قابلیت باید غلتک‌های شکل‌دهی در دو محور حرکت داشته باشند که این حرکات با توجه به هندسه پروفیل تغییر می‌کند. با توجه به این موارد، سیستم کنترلی دستگاه طراحی و ساخته شد تا هم توانایی حرکت عرضی و هم حرکت دورانی حول محور  $y$  را ایجاد نماید. ابتدا طراحی دستگاه در نرم‌افزار سالیدورک<sup>۱</sup> انجام گردید (شکل ۱۰) و تمامی حرکت‌های لازم جهت شکل‌دهی آزمایش شده و سپس دستگاه ساخته شد. شکل ۱۱ نیز نمایی از دستگاه FRF ساخته شده در آزمایشگاه شکل‌دهی را نشان می‌دهد که در آزمایش‌های تجربی مورد استفاده قرار گرفت.

جدول ۴- ضرایب معیار بارلات برای فولاد زنگ‌زن

$t=1$	ضخامت (mm)	$t=+1/4$	پارامتر
$t=1$	$t=+1/4$	$t=+1/4$	$M$
۶	۶	۶	$M$
۱/۱۴۵	۱/۳۱۴	۱/۴۰۸	$a$
۰/۸۵۵	۰/۶۸۶	۰/۵۹۲	$c$
۰/۲۰۱	۰/۲۵۵	۰/۲۹۴	$h$
۰/۲۴۸	۰/۱۸۷	۰/۱۵۷	$p$
۱۹۶/۳۴۴	۲۰۴/۸۱۱	۲۱۲/۲۳۲	$K_1$
۱۹۳/۴۰۰	۲۰۰/۰۳۶	۲۰۴/۵۵۵	$K_2$

#### ۴-۳- طراحی آزمایش

برای طراحی آزمایش‌ها، از قسمت DOE نرم‌افزار Minitab استفاده شد. برای بررسی اثر جنس ۳ سطح، برای بررسی اثر ضخامت ۳ سطح و برای بررسی اثر زاویه خم به دلیل محدودیت اقتصادی و محدود بودن آزمایش‌های تجربی و ساخت غلتک ۲ سطح انتخاب گردید. برای اینکه اثر پارامترها به خوبی بررسی شوند از روش طراحی عاملی کامل در این مقاله استفاده گردید که با این نوع طراحی، درنهایت ۱۸ آزمایش مطابق جدول ۶ تعریف گردید. هر جنس با سه ضخامت مختلف در زوایای خم ۲۵ و ۴۵ درجه شکل داده شدند.

<sup>۱</sup> SolidWorks



شکل ۱۱- نمایی از دستگاه FRF مورد استفاده در آزمایش‌های تجربی



شکل ۱۲- نمایی از ورق پیش بر شده قبل از انجام آزمایش‌های تجربی

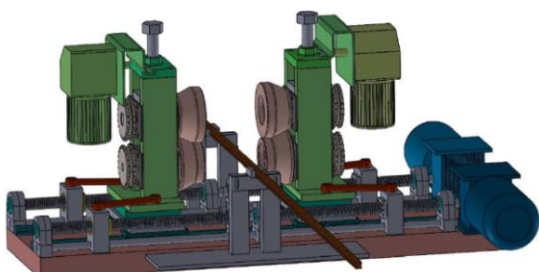


شکل ۱۳- نمایی از ورق‌ها با جنس‌های مختلف پس از انجام آزمایش‌های تجربی

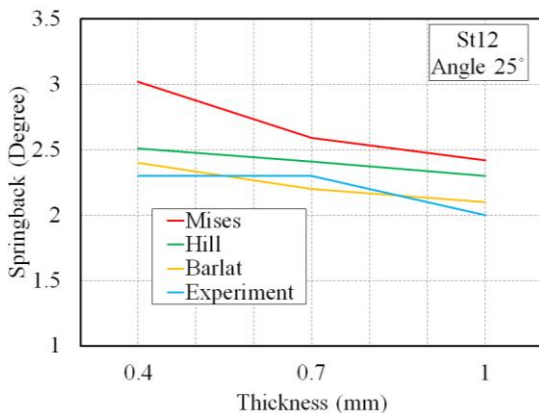
**۴-۲- روند انجام آزمایش**  
ابتدا نمونه ورق‌های از پیش بریده شده، شکل‌دهی شدند و سپس میزان زوایا (به منظور صحت سنجی نمونه‌ها) با استفاده از دستگاه پروفایل پروژکتور با دقیقیت  $0.01^\circ$  درجه اندازه‌گیری شدند (شکل ۱۴).

جدول ۶- آزمایش‌های طراحی شده با نرم‌افزار Minitab

ردیف	جنس	زاویه خم (°)	ضخامت (mm)
۱	آلومینیوم	۱۰۵۰	۰/۴
۲	آلومینیوم	۱۰۵۰	۰/۷
۳	آلومینیوم	۱۰۵۰	۱
۴	آلومینیوم	۱۰۵۰	۰/۴
۵	آلومینیوم	۱۰۵۰	۰/۷
۶	آلومینیوم	۱۰۵۰	۱
۷	فولاد زنگنزن	۲۵	۰/۴
۸	فولاد زنگنزن	۲۵	۰/۷
۹	فولاد زنگنزن	۲۵	۱
۱۰	فولاد زنگنزن	۴۵	۰/۴
۱۱	فولاد زنگنزن	۴۵	۰/۷
۱۲	فولاد زنگنزن	۴۵	۱
۱۳	فولاد کم‌کربن	۲۵	۰/۴
۱۴	فولاد کم‌کربن	۲۵	۰/۷
۱۵	فولاد کم‌کربن	۲۵	۱
۱۶	فولاد کم‌کربن	۴۵	۰/۴
۱۷	فولاد کم‌کربن	۴۵	۰/۷
۱۸	فولاد کم‌کربن	۴۵	۱



شکل ۱۰- نمایی از دستگاه FRF طراحی شده در نرم‌افزار سالیدورکز



شکل ۱۵- مقایسه نتایج حاصل از شبیه سازی و کار تجربی ورق St12 با زاویه خم ۲۵ درجه

با بررسی نتایج حاصل از زاویه خم ۲۵ درجه مشاهده می شود که با افزایش ضخامت ورق از  $0.4^{\circ}$  میلی متر به ۱ میلی متر، میزان برگشت فری کاهش یافته است؛ همچنین دیده می شود که در میان معیارهای تسلیم مورد بررسی، نتایج حاصل از معیار بارلات به نتایج حاصل از کار تجربی نزدیک تر است. شکل ۱۶ مربوط به نتایج زاویه خم ۴۵ درجه است که نشان می دهد، میزان برگشت فری در معیارهای تسلیم ناهمسانگرد و معیار تسلیم همسانگرد به یک صورت تغییر کرده است. نتایج نشان می دهد، ورق با ضخامت کمتر، میزان برگشت فری بیشتری نسبت به دو ضخامت دیگر دارد.

#### ۵-۱-۵- اثر ضخامت ورق و زاویه خم بر برگشت فری نمونه آلمونینیوم

نتایج بدست آمده از کار تجربی و شبیه سازی برای جنس آلمونینیوم با سه ضخامت و دو زاویه خم در شکل های ۱۷ و ۱۸ آورده شده است. با بررسی نتایج، مشاهده می شود که هرچه ضخامت ورق کمتر باشد، میزان برگشت فری در آن افزایش می یابد که این امر به دلیل افزایش منطقه الاستیک در ورق است؛ چراکه افزایش این منطقه پس از باربرداری خود را به صورت برگشت فری نمایان می سازد. مقایسه معیارهای تسلیم ناهمسانگرد و همسانگرد با نتایج کار تجربی نشان می دهد که دو معیار تسلیم ناهمسانگردی هیل ۴۸ و بارلات ۸۹ به نتایج تجربی نزدیک تر بوده و از میان این دو معیار، معیار تسلیم بارلات ۸۹ تطابق بهتری با نتایج تجربی نشان داده است.



شکل ۱۶- اندازه گیری با دستگاه پروفایل پروژکتور

#### ۵- بحث و نتایج

در این مقاله، اثر پارامترهای مختلف از جمله ضخامت ورق، جنس و زاویه خم به صورت تجربی و عددی مورد بررسی قرار گرفت. همان طور که قبلاً گفته شد، برای هر ضخامت از هر جنس ۲ آزمایش و در مجموع ۳ جنس مختلف، ۶ آزمایش در نظر گرفته شد. در ادامه اثر این پارامترها بیان می شود.

#### ۵-۱-۱-۵- اثر زاویه خم و ضخامت ورق بر روی برگشت فری

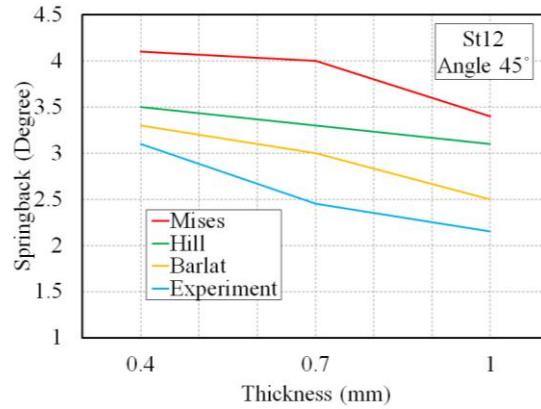
در این قسمت به بررسی اثر زاویه خم و ضخامت ورق بر روی عیب برگشت فری با معیارهای تسلیم فون میسز، هیل ۴۸ و بارلات ۸۹ پرداخته شده و با کار تجربی مقایسه شده است.

#### ۵-۱-۱-۱-۵- اثر ضخامت ورق و زاویه خم بر برگشت فری نمونه St12

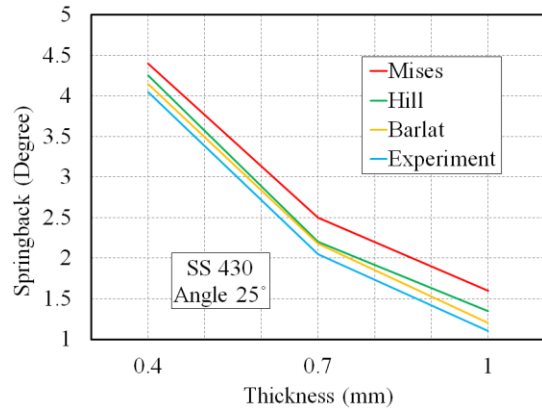
در شکل ۱۵ نتایج مربوط به زاویه خم ۲۵ درجه و در شکل ۱۶ نتایج مربوط به زاویه خم ۴۵ درجه نشان داده شده است، محور افقی، نشان دهنده ضخامت ورق و محور عمودی، میزان برگشت فری در زوایای مورد بررسی را نشان می دهد.

### ۳-۱-۵- اثر ضخامت ورق و زاویه خم بر برگشت فنری نمونه فولاد زنگنزن

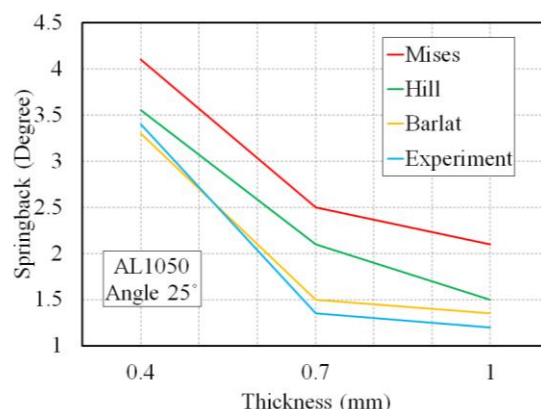
نتایج حاصل از شبیه‌سازی و کار تجربی فولاد زنگنزن با دو زاویه خم  $25^\circ$  و  $45^\circ$  درجه در شکل‌های ۱۹ و ۲۰ نشان داده شده است. مقدار برگشت فنری در زاویه  $25^\circ$  درجه برای ضخامت  $1/4$  میلی‌متر در معیار تسليیم بارلات، ۸۹، هیل،  $48^\circ$  میسز و کار تجربی به ترتیب  $4/16$ ،  $4/26$ ،  $4/42$  و  $4/05$  درجه است و برای ضخامت ۱ میلی‌متر به ترتیب  $1/22$ ،  $1/27$ ،  $1/57$  و  $1/1$  درجه است. مشاهده می‌شود که با افزایش ضخامت ورق از  $1/4$  میلی‌متر به ۱ میلی‌متر میزان برگشت فنری کاهش می‌یابد. در زاویه خم  $45^\circ$  درجه نیز با



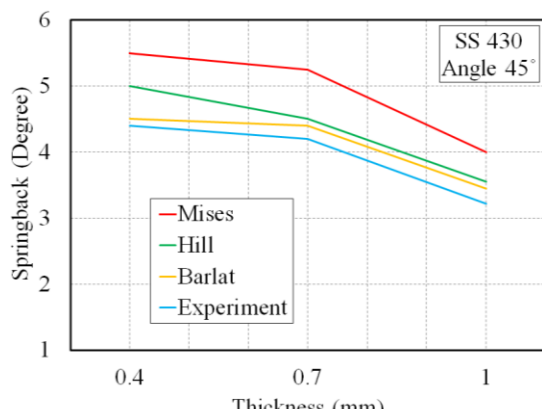
شکل ۱۶- مقایسه نتایج حاصل از شبیه‌سازی و کار تجربی ورق St12 با زاویه خم  $45^\circ$  درجه



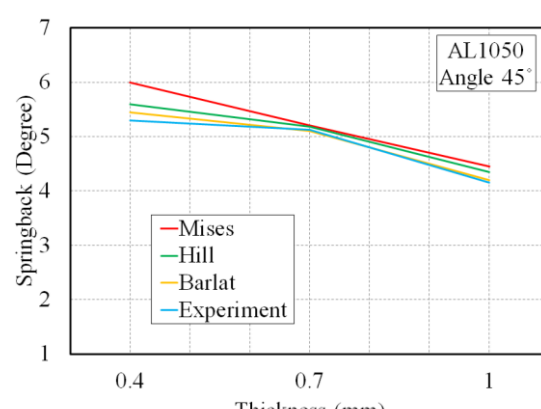
شکل ۱۹- مقایسه نتایج حاصل از شبیه‌سازی و کار تجربی ورق فولاد زنگنزن  $430$  با زاویه خم  $25^\circ$  درجه



شکل ۱۷- مقایسه نتایج حاصل از شبیه‌سازی و کار تجربی ورق آلمینیوم  $1050$  با زاویه خم  $25^\circ$  درجه



شکل ۲۰- مقایسه نتایج حاصل از شبیه‌سازی و کار تجربی ورق فولاد زنگنزن  $430$  با زاویه خم  $45^\circ$  درجه



شکل ۱۸- مقایسه نتایج حاصل از شبیه‌سازی و کار تجربی ورق آلمینیوم  $1050$  با زاویه خم  $45^\circ$  درجه

تطابق بهتری با نتایج حاصل از کار تجربی داشته است.

- در ورق فولاد کم کربن، برای ضخامت  $0/4$  میلی متر، برگشت فنری  $1/5$  برابر ضخامت  $1$  میلی متر بوده است؛ همچنین در ورق آلمینیوم مقدار برگشت فنری در ضخامت  $0/4$  میلی متر  $2/5$  برابر نسبت به ضخامت  $1$  میلی متر افزایش داشته است. در فولاد زنگنزن نیز مقدار برگشت فنری به دست آمده از نتایج برای ضخامت  $0/4$  میلی متر  $3/2$  برابر بیشتر از ضخامت  $1$  میلی متر بوده است، پس می توان نتیجه گرفت که با افزایش ضخامت ورق میزان برگشت فنری کاهش می یابد.

## ۷- مراجع

- [1] Storbeck M, Beiter P, Berner S, Brenneis M, Schmitt W, Groche P (2012) Lightweight Products by Load Optimized Profile Design. Future Trends in Production Engineering 161-179.
- [2] Jiao J, Rolfe B, Mendiguren J, Weiss M (2015) An analytical approach to predict web-warping and longitudinal strain in flexible roll formed sections of variable width. Int J Mech Sci 90: 228-238.
- [3] Dadgar Y, Sheikhi MM, Anaraki AP, Gollo MH, Panahizadeh V (2017) Fracture analysis on flexible roll forming process of anisotropic Al6061 using ductile fracture criteria and FLD. Int J Adv Manu Technol 91(5-8): 1481-1492.
- [4] Gulceken E, Abeé A, Sedlmaier A, Livatayli H (2007) Finite element simulation of flexible roll forming, A case study on variable width U channel. 4th Int. Conf. Exhibition on Desing and Production of Machines and Dies/Molds, Turkey.
- [5] Groche P, Henkelmann M, Gotz P, Berner S (2008) Cold rolled profiles for vehicle construction. Arch. of Civil & Mech. Eng. 8(2): 31-38.
- [6] Larrañaga J, Galdos L (2009) Geometrical accuracy improvement of flexibly roll formed profiles by means of local heating. First Int Con Roll Forming, Spain.
- [7] Kasaei MM, MoslemiNaeini H, Abbaszadeh B, Mohammadi M, Ghodsi M, Kiuchi M, Zolghadr R, Liaghat Gh, AziziTafti R, Salmani Tehrani M (2014) Flange wrinkling in flexible roll forming process. Pro Eng 81: 245-250.
- [8] Mohammadi M, MoslemiNaeini H, Kasaei MM, Salmani Tehrani M, Abbaszadeh B (2014) Investigation of web warping of profiles with changing cross section inflexible roll forming

افزایش ضخامت میزان برگشت فنری کاهش یافته است. با بررسی اثر معیارهای تسلیم هیل  $48$ ، بارلات  $89$ ، میسز و کار تجربی مشاهده می شود که معیار تسلیم ناهمسانگردی بارلات  $89$  به زوایای پروفیل های تولید شده در کار تجربی نزدیک تر است.

## ۶- نتیجه گیری

در این مقاله، به دلیل اهمیت عیب برگشت فنری در فرایند شکل دهی غلتکی، بررسی تجربی و شبیه سازی عددی روی این عیب صورت گرفت و نتایج حاصل ارائه شد. همان طور که در نمودارهای حاصل از کار تجربی و شبیه سازی نمایان است:

- در تمام زوایا، با افزایش مقدار ضخامت از  $0/4$  میلی متر به  $1$  میلی متر، میزان برگشت فنری کمتر می شود. می توان این کاهش برگشت فنری را این گونه توجیه کرد که افزایش نسبت کرنش های پلاستیک و کاهش منطقه الاستیک در ضخامت های بالاتر، باعث کاهش میزان برگشت فنری می گردد.
- در زاویه غلتک  $25$  درجه، نتایج شبیه سازی بسیار نزدیک به کار تجربی است و میزان برگشت فنری کمتری رخداده است.
- فولاد زنگنزن به دلیل داشتن تنش تسلیم بیشتر نسبت به سایر جنس ها، میزان برگشت فنری کمتری داشته است.
- در یک نتیجه گیری کلی، با افزایش میزان ضخامت و افزایش تنش تسلیم میزان برگشت فنری در زوایای مختلف کمتر می شود.
- ورق آلمینیوم به دلیل داشتن مدول الاستیسیته کمتر نسبت به دو نمونه فولاد، میزان برگشت فنری بیشتری را در نمونه ها داشت.
- با بررسی اثر معیارهای تسلیم ناهمسانگرد هیل  $48$  و بارلات  $89$  و معیار تسلیم همسانگرد فون میسز ملاحظه شد که نتایج حاصل از معیارهای تسلیم ناهمسانگرد به نتایج تجربی نزدیک تر بوده و از بین دو معیار انتخابی، معیار تسلیم بارلات  $89$

- [۱۱] پناهیزاده و (۱۳۹۲) بررسی نظری، تجربی و عددی عیوب برگشت فنری و پیش‌بینی شکست در فرایند شکل‌دهی غلتکی سرد با استفاده از معیارهای شکست نرم. پایان‌نامه دکتری، دانشگاه تربیت مدرس.
- [12] Hill R (1948) A theory of the yielding and plastic flow of anisotropic metals. *P Roy Soc A-Math Phy* 193: 281-297.
- [13] Barlat F, Lege DJ, Brem JC (1991) A six-component yield function for anisotropic materials. *Int J Plasticity* 7: 693-712
- process. *Modares Mechanical Engineering* 14(6): 72-80.
- [9] Yan Y, Wang H, Li Q, Qian B, Mpofu Kh (2014) Simulation and experimental verification of flexible roll forming of steel sheets. *Int J Adv Manuf Technol*, London.
- [10] Dadgar Asl Y, Sheikhi MM, Pourkamali Anaraki A, Panahizadeh Rahimloo V, Hosseinpour Gollo M (2016) Experimental and Numerical Analysis of Fracture on Flexible Roll Forming Process of Channel Section in Aluminum 6061-T6 Sheet. *Modares Mechanical Engineering* 16(5): 329-338